

УДК 553.411+553.491

## НОВЫЙ ТИП БЛАГОРОДНОМЕТАЛЬНОЙ МИНЕРАЛИЗАЦИИ В ТЕРРИГЕННЫХ ПОРОДАХ ШАТАКСКОГО ГРАБЕНА (ЗАПАДНЫЙ СКЛОН ЮЖНОГО УРАЛА)

© 2006 г. С. Г. Ковалев, И. В. Высоцкий\*

Институт геологии Уфимского научного центра РАН  
450000 Уфа, ул. К. Маркса, 16/2;

E-mail: kovalev@anrb.ru

\* Государственное унитарное предприятие “Башгеолцентр”  
450077 Уфа, ул. Ленина, 37

Поступила в редакцию 04.07.2005 г.

Приводятся материалы по новому, нетрадиционному для Урала типу благороднометальной (платино-золото-железооксидной) минерализации, приуроченной к терригенным толщам машакской свиты среднего рифея, распространенной в пределах западного склона Южного Урала. Показано, что формирование минерализации обусловлено проникновением в верхние горизонты коры восстановленных мантийных флюидов на ранних стадиях рифтогенеза и их инверсией в коровых условиях с переотложением рудообразующих элементов.

Шатакский грабен, входящий в состав среднерифейской палеорифтогенной структуры, расположен в южной части восточного крыла Ямантауского антиклиниория, осложняющего Башкирский мегантиклинорий (рис. 1). В его строении принимают участие терригенные, магматические и вулканогенно-осадочные образования машакской свиты ( $R_2$ ). По литологическому составу и последовательности напластования свита расчленяется на восемь подсвит, из которых первая и шестая являются вулканогенно-осадочными, вторая и четвертая – существенно вулканогенными, а третья, пятая, седьмая и восьмая – терригенными [Ротарь и др., 1982]. Терригенные породы, слагающие около 75% объема свиты, представлены преимущественно грубозернистыми образованиями (песчаниками и конгломератами кварц-кварцитового состава) при подчиненной роли алевролитов и углеродсодержащих сланцев. Конгломераты широко развиты в составе кузъелгинской ( $R_2ms_1$ ), куйнатавской ( $R_2ms_5$ ) и каранской ( $R_2ms_6$ ) подсвит, слагая горизонты мощностью до 20–25 м и протяженностью 10–12 км. Они представлены мелко- и валунногалечными разновидностями, между которыми существуют все переходы. Обломочный материал состоит из хорошо окатанных галек и валунов кварцитопесчаников, кварцитов и реже кварца. Цемент конгломератов кварц-сериицитовый и кварц-сериицит-хлоритовый, реже кварц-эпидот-хлоритовый со значительным содержанием магнетита и гематита и небольшим количеством сульфидов.

Магматические породы, входящие в состав свиты, представлены вулканитами основного и кислого состава в покровной (эффузивной) и пи-

рокластической) и субвулканической (силлы и дайки) фациях. Кроме того, в основании свиты располагается дифференцированное тело диабаз-пикритового состава, являющееся, по нашему мнению, первой порцией недифференцированного мантийного расплава, сформировавшегося на ранней стадии заложения рифтогенной структуры [Ковалев, Высоцкий, 2003].

В результате детального изучения терригенных толщ (в первую очередь конгломератов кузъелгинской и каранской подсвит), проведенных в последнее время, нами были получены оригинальные материалы по их металлоносности и выделен новый для Урала тип благороднометального оруденения.

### СОСТАВ И СТРОЕНИЕ ОТЛОЖЕНИЙ

Кузъелгинская подсвита распространена на западном склоне хребта Большой Шатак и прослеживается в виде субмеридиональной полосы шириной от 300 до 700 м на расстоянии свыше 11 км. Внутреннее строение подсвиты характеризуется переслаиванием пачек конгломератов и песчаников в нижней части разреза (85–100 м), конгломератов и диабазов в средней ее части (130–140 м) и риолитов (до 180 м) – в верхней.

Сводный геологический разрез подсвиты (см. рис. 1) выглядит следующим образом (снизу вверх).

1. В основании разреза расположена пачка переслаивающихся углистых кварц-сериицит-хлоритовых, хлорит-сериицитовых сланцев, алевролитов и кварцитовидных песчаников юшинской

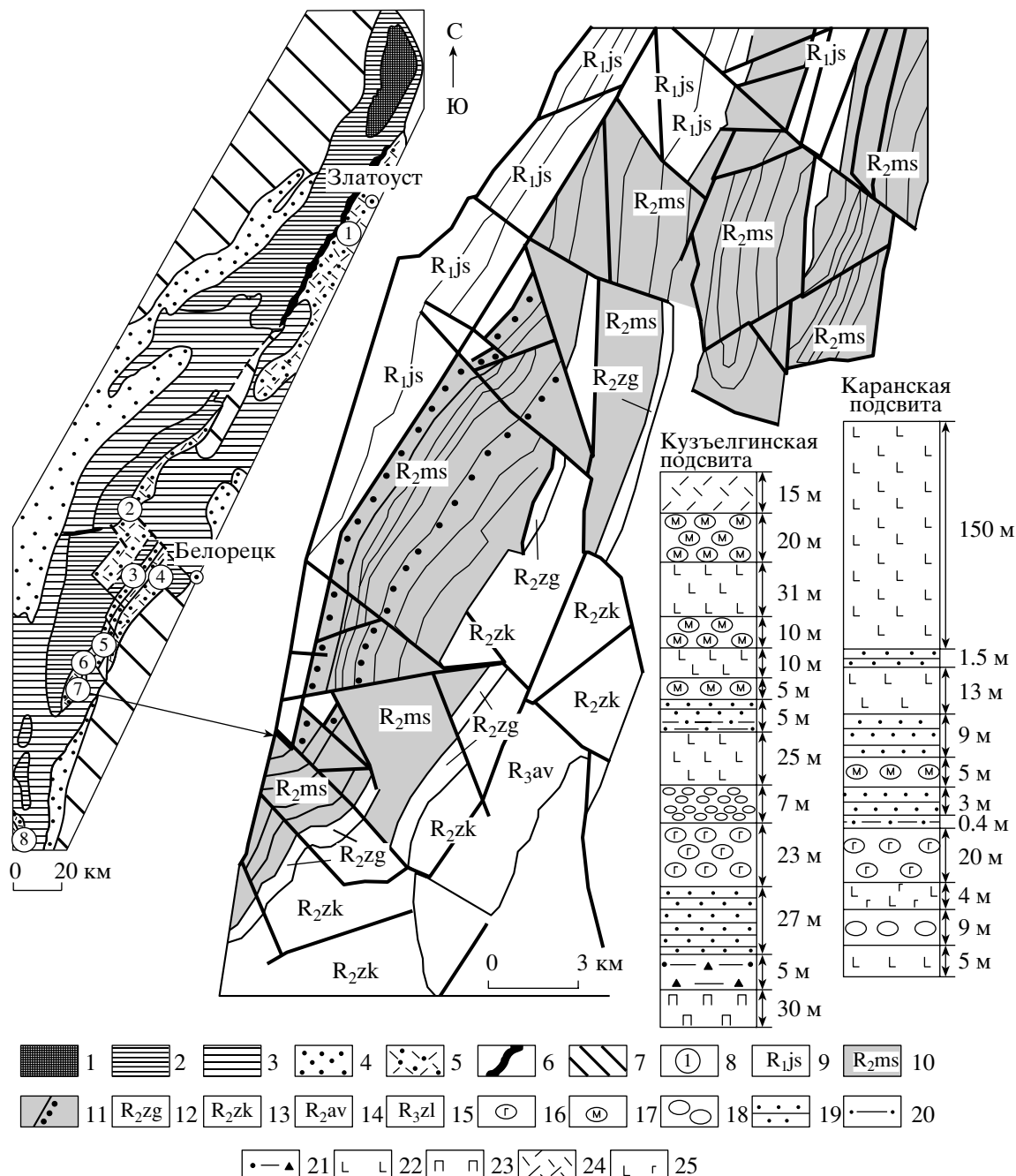


Рис. 1. Геологические схемы западного склона Южного Урала и литологические разрезы машакской свиты.

1 – архей-протерозойский Тараташский комплекс; 2 – нижнерифейские отложения; 3 – среднерифейские осадочные отложения; 4 – верхнерифейско-вендинские отложения нерасчлененные; 5 – среднерифейские вулканогенно-осадочные отложения; 6 – Кусинско-Копанский интрузивный комплекс; 7 – палеозойские отложения нерасчлененные; 8 – структурно-вещественные комплексы среднерифейской палеорифтогенетической структуры (1 – Кувашский, 2 – Машакский, 3 – Ишилинский, 4 – Белетарский, 5 – Узянский, 6 – Кухтурский, 7 – Шатакский, 8 – Кургасский); 9 – юшинская свита (R<sub>1</sub>); 10 – машакская свита (R<sub>2</sub>); 11 – горизонты конгломератов; 12 – зигальгинская свита (R<sub>2</sub>zg); 13 – зигазино-комаровская свита (R<sub>2</sub>zk); 14 – авзянская свита (R<sub>2</sub>av); 15 – зильмердакская свита (R<sub>3</sub>z); 16 – конгломераты с гематитом; 17 – конгломераты с магнетитом; 18 – гравелиты; 19 – песчаники; 20 – алевропесчаники; 21 – тектонические брекчии; 22 – метабазальты; 23 – дифференцированная диабаз-пикритовая интрузия; 24 – риолиты; 25 – гематитизированные породы основного состава.

свиты (R<sub>1</sub>). На контакте с вышележащими отложениями куз'елгинской подсвиты породы осветлены и содержат значительное количество хлоритоида.

В центральной части Шатакского грабена, в зоне контакта юшинской и машакской свит, расположено расслоенное тело диабаз-пикритового состава мощностью 20 м и протяженностью 3 км,

в котором выделяются следующие горизонты (снизу вверх).

Нижний горизонт представлен пикродиабазами, интенсивно измененными вторичными процессами. Из первичных минералов по псевдоморфозам устанавливается клинопироксен; присутствие плагиоклаза проблематично (относительно редко встречаются нечетко выраженные таблички, замещенные вторичными минералами). Вторичные минералы представлены: амфиболом, сфеном, лейкоксеном, хлоритом, серпентином, альбитом, карбонатом, апатитом, тальком и серицитом. Амфибол чаще всего бесцветный треполит, но в ограниченных количествах присутствуют и зеленоватые кристаллики актинолита. Альбитизация и серпентинизация развиваются локально (по соответствующим минералам). Рудный минерал представлен скелетными выделениями лейкоксенизированного титанита, который развивается, вероятнее всего, по первичному титаномагнетиту. Кроме того, отмечены включения халькопирита в количестве до 2–5%, а также единичные ксеноморфные выделения красной шпинели (пикотит?).

Центральная часть интрузии сложена пикритами, первичными минералами которых являются оливин, клинопироксен, ортопироксен и роговая обманка. Вторичные минералы представлены амфиболом, тальком, хлоритом, эпидотом, серпентином, мусковитом (серицитом), магнетитом, сфеном, апатитом. Породы сильно изменены и практически полностью превращены в тальк-амфибол-серпентиновый агрегат. Амфибол представлен треполитом, актинолит встречается гораздо реже. Ортопироксен не сохранился, его наличие определяется по единичным баститовым псевдоморфозам. Магнетит присутствует в виде субдиоморфных и идиоморфных кристаллов, рассеянных по всей породе. Сфен образует зернистые массы неправильной формы. Характерной чертой этого горизонта является псевдослоистое (полосчатое) строение, обусловленное чередованием кумулятивных “слоев” существенно оливинового и пироксенового составов.

Породы верхней “эндоконтактовой” зоны представлены метадиабазами с микродиабазовой и микродолеритовой структурами. Минеральный состав: пироксен, плагиоклаз, магнетит, хлорит, сфен, эпидот, актинолит, апатит, альбит. Плагиоклаз имеет идиоморфную, лейстовидную форму и иногда образует “спутанно-волокнистые” агрегаты. Пироксен не сохранился, он полностью псевдоморфно замещен хлоритом (пеннин) и игольчатыми кристалликами актинолита. Эпидот образует изолированные зернистые массы, а также развивается по прожилкам. Магнетит (8–10%) представлен субдиоморфными и ксеноморфными выделениями. Он часто наблюдается в ассоци-

ации с лейкоксенизированным титанитом (сфернитом), образующим мелкозернистые агрегаты.

В пределах верхнего экзоконтакта дифференцированного тела присутствует горизонт тектонических брекчий, представленных хлоритизированными алевропесчаниками с дресвой и щебнем осветленных сланцев.

2. Песчаники кварцитовидные, розовато-серого цвета, толстоплитчатые, от среднезернистых в нижней части слоя до крупнозернистых в верхней и гравелитов в кровле. В составе обломочного материала преобладает кварц, реже встречаются кварциты, микрокварциты и сланцы. Цемент представлен кварц-серицитовым и хлорит-серицитовым агрегатом. Рудный минерал – гематит – содержится в количестве до 10–15%. Из новообразованных минералов отмечаются обильные выделения хлоритоида.

3. Конгломераты крупногалечные и валунные (с содержанием валунно-галечного материала 70–80%) в нижней части разреза и мелкогалечные в верхней, постепенно переходящие в гравелиты, а затем в крупнозернистые песчаники. Валуны и галька состоят из кварцитов, реже кварца. Цемент сложен кварц-серицит-хлоритовым агрегатом. Рудная минерализация, как и в подстилающих песчаниках, представлена гематитом. В незначительном количестве (<1%) отмечается пирит.

4. Диабазы зеленовато-серого цвета со столбчатой отдельностью, массивной текстурой и микродолеритовой, микродиабазовой структурами. Минеральный состав: хлорит, эпидот, актинолит, сфен, пренит, кварц.

5. Алевролиты зеленовато-серого цвета тонкоПлитчатые, состоящие из зерен кварца размером менее 0.01 мм и серицит-хлоритового цемента.

6. Конгломераты валунно-галечные с кварц-серицит-хлоритовым и эпидот-хлоритовым цементом. Из рудных минералов преобладают идиоморфные кристаллы магнетита. Пирит в виде мельчайших (единицы микрон) включений существует в магнетите и нерудных минералах. В зоне контакта с нижележащими диабазами отмечается халькопирит (до 2–3%), реже пирротин, а также единичные зерна самородного железа, представленные выделениями серого цвета с металлическим блеском удлиненно-неправильной, “червеобразной” формы с размерами до 2–3 мм по удлинению. В его составе микрозондовым методом установлены (в атомных %): Fe – 97.62–99.33; Mn – 0.54; Au – 0.3–0.33; Pt – 0.4 и Cr – 0.34–1.14 [Ковалев, Высоцкий, 2000].

7. Диабазы со столбчатой отдельностью, расланцованные и хлоритизированные в подошве; массивные в средней части и миндалекаменные в кровле.

**Таблица 1.** Содержания благородных металлов в осадочных и магматических породах Шатакского комплекса (г/т)

| Порода                           | Au   | Ag   | Pt   | Pd   |
|----------------------------------|------|------|------|------|
| Конгломерат с магнетитом         | 0.20 | 5.25 | 1.75 | 0.30 |
| Песчаник с гематитом             | 0.25 | 1.00 | <0.5 | <0.1 |
| Диабаз с магнетитом              | <0.1 | 1.75 | <0.5 | <0.1 |
| Конгломерат с сульфидами         | 0.10 | 1.00 | <0.5 | <0.1 |
| Конгломерат                      | 0.35 | 1.25 | н/о  | н/о  |
| Конгломерат с гематитом          | 1.80 | 1.45 | н/о  | н/о  |
| Конгломерат с магнетитом         | 1.60 | 2.50 | 1.30 | 0.30 |
| Конгломерат с магнетитом         | 1.20 | 1.00 | 1.50 | 0.20 |
| Магнетитовая руда                | 1.20 | 1.75 | <0.5 | <0.1 |
| Конгломерат с магнетитом         | 2.15 | 1.20 | 1.40 | 0.20 |
| Конгломерат                      | 0.20 | 1.38 | н/о  | н/о  |
| Конгломерат                      | 0.30 | 1.25 | <0.5 | <0.1 |
| Углеродистый сланец с сульфидами | 0.20 | 1.36 | <0.5 | <0.1 |
| Конгломерат                      | <0.1 | 1.00 | <0.5 | <0.1 |
| Конгломерат                      | 0.20 | 1.25 | <0.5 | <0.1 |
| Конгломерат                      | 0.20 | 1.00 | н/о  | н/о  |
| Конгломерат                      | 0.15 | 0.75 | н/о  | н/о  |
| Конгломерат                      | 0.20 | 0.75 | 0.85 | 0.20 |
| Конгломерат                      | 0.20 | 0.75 | 0.60 | 0.20 |
| Конгломерат                      | 1.80 | 1.40 | 1.25 | 0.35 |
| Конгломерат                      | 1.60 | 2.55 | 1.30 | 0.30 |
| Конгломерат с гематитом          | 1.85 | 1.70 | 0.50 | 0.10 |
| Гравелит с гематитом             | 0.20 | 0.50 | <0.5 | <0.1 |
| Конгломерат                      | 0.10 | 0.50 | н/о  | н/о  |
| Песчаник с гематитом             | 0.20 | 1.25 | н/о  | н/о  |
| Конгломерат                      | 2.00 | 0.75 | 0.80 | 0.30 |
| Конгломерат                      | 0.10 | 1.00 | н/о  | н/о  |
| Конгломерат                      | 0.10 | 0.50 | н/о  | н/о  |
| Диабаз с магнетитом              | <0.1 | 1.75 | <0.5 | <0.1 |
| Углеродистый сланец              | 0.20 | 1.38 | н/о  | н/о  |

Примечание. Анализы выполнены в ОАО “Унипромедь” атомно-абсорбционным методом.

8. Валунно-галечные конгломераты с размером валунов до 25–30 см, сложенных кварцитами, реже кварцем. Цемент представлен кварц-серicit-хлоритовым и эпидот-хлоритовым агрегатом. Из рудных минералов преобладает магнетит.

9. Диабазы зеленовато-серого цвета, рассланцеванные и ожелезненные в подошве; в центральной части и кровле массивные с отдельными миндалинами, выполненными гидроксидами меди, кварцем и эпидотом.

10. Алевролиты фиолетового цвета, плитчатые, с идиоморфными кристаллами магнетита в количестве до 10–15%.

11. Конгломераты валунно-галечные. Обломки состоят из хлоритизированных кварцитов. Цемент тонкозернистый, кварц-хлорит-серicitово-го состава с новообразованными выделениями цоизита лучистой формы и зернистыми массами эпидота. Рудная минерализация представлена идиоморфными кристаллами магнетита, располагающимися как в цементе, так и в гальке конгломератов.

12. Риолиты и риодакиты порфировидной структуры с микролитовой структурой основной массы и разноориентированной текстурой. Порфировые выделения представлены серicitизированым полевым шпатом. Основная масса породы замещена микрозернами кварца и имеет полевошпатово-кварцевый состав с примесью хлоритизированного и эпидотизированного биотита. Рудный минерал – магнетит – образует субизометричные “оплавленные” кристаллы размером до 1 мм в количестве 3–5%.

По минеральным парагенезисам, слагающим осадочные породы, и характеру рудной минерализации в составе подсвиты выделяются две толщи – нижняя и верхняя. Для первой характерен регрессивно-трангрессивный тип разреза с колебанием мощности в различных обнажениях от 80 до 100 м. Наиболее распространенным рудным минералом в этих породах является гематит. Он встречается как в гальке, так и в цементе конгломератов. Рентгенографическим фазовым анализом установлено, что цемент конгломератов с гематитом на 92–95% состоит из кварца, слюды (биотит и мусковит), магнетита и гематита. Массовая доля последнего составляет 10–10.5%, магнетита – около 1%, слюдистых минералов – до 10%. В нижней части толщи отмечены обильные (до 10–15%) выделения хлоритаода.

В монофракциях гематита, отобранных из цемента конгломератов нижней толщи кузьельгинской подсвиты атомно-абсорбционным методом, было установлено до 10.77 г/т золота и 1.12 г/т серебра, а в валовых пробах содержание Au составляет 1.8 г/т, Ag – 1.4 г/т, Pt – до 1.25 г/т, Pd – до 0.35 г/т (табл. 1), при массовой доли железа – 8.22%.

В верхней толще выделяются до трех горизонтов валунно-галечных конгломератов суммарной мощностью около 50 м в переслаивании с потоками или силлами диабазов, перекрывающихся в верхней части разреза риолитами. Отличительной особенностью конгломератов является присутствие в цементе новообразованных минералов эпидот-циоизитовой группы в ассоциации с хлоритом. Рудная минерализация, приуроченная как к цементу, так и к галькам, представлена идиоморфными кристаллами магнетита размером

**Таблица 2.** Химический состав магнетита из пород Шатакского комплекса (в атомных %)

| Элемент | 1      | 2     | 3      | 4      | 5      | 6      | 7      |
|---------|--------|-------|--------|--------|--------|--------|--------|
| Au      | 0.0    | 0.0   | 0.0    | 0.0    | 0.225  | 0.508  | 0.0    |
| Ag      | 0.67   | 0.0   | 0.0    | 0.0    | 0.106  | 0.0    | 0.112  |
| Pt      | 0.0    | 0.0   | 0.0    | 0.0    | 0.0    | 0.518  | 0.344  |
| Pd      | 0.484  | 0.0   | 0.234  | 0.0    | 0.038  | 0.0    | 0.685  |
| Rh      | 0.143  | 0.0   | 0.0    | 0.0    | 0.0    | 0.148  | 0.203  |
| Fe      | 97.123 | 98.96 | 97.296 | 98.705 | 98.423 | 97.365 | 96.021 |
| S       | 0.0    | 0.088 | 0.823  | 0.064  | 0.094  | 0.0    | 0.0    |
| Cr      | 0.104  | 0.085 | 0.161  | 0.285  | 0.133  | 0.0    | 0.0    |
| Co      | 0.0    | 0.0   | 0.0    | 0.0    | 0.0    | 0.233  | 0.0    |
| Ni      | 0.157  | 0.151 | 0.189  | 0.195  | 0.0    | 0.143  | 0.403  |
| Cu      | 0.063  | 0.048 | 0.153  | 0.168  | 0.087  | 0.0    | 0.362  |
| Ti      | 0.068  | 0.068 | 0.077  | 0.479  | 0.073  | 0.238  | 0.178  |
| V       | 0.554  | 0.014 | 0.205  | 0.0    | 0.078  | 0.374  | 0.095  |
| Sn      | 0.0    | 0.0   | 0.0    | 0.104  | 0.184  | 0.0    | 0.0    |
| Mn      | 0.052  | 0.0   | 0.0    | 0.0    | 0.0    | 0.149  | 0.326  |
| Sb      | 0.107  | 0.213 | 0.0    | 0.0    | 0.094  | 0.0    | 0.0    |
| As      | 0.475  | 0.373 | 0.0    | 0.0    | 0.0    | 0.092  | 1.271  |
| Pb      | 0.0    | 0.0   | 0.862  | 0.0    | 0.465  | 0.232  | 0.0    |

Примечание. 1–5 – из конгломератов и гравелитов, 6, 7 – из диабазов. Состав минералов определялся на растровом сканирующем микроскопе JSM-840 с приставкой “Link” при ускоряющем напряжении 20 кВ и времени накопления 50 сек в Институте проблем сверхпластичности металлов РАН (г. Уфа). В качестве эталонов использовались коллекционные чистые металлы.

0.5–2 мм, в монофракции которого содержание золота составляет 4.9 г/т, серебра – 0.2 г/т. В валовых пробах концентрации благородных металлов следующие (г/т): платины до 1.75, палладия до 0.30, золота до 2.15, серебра до 5.25, при массовой доле железа 6.54%.

Повышенные содержания благородных металлов в этих породах хорошо коррелируются с присутствием в их составе оксигидроксидов железа, установленных микрозондовым анализом (табл. 2).

Каранская подсвита по литолого-петрографическому составу во многом сходна с отложениями кузьельгинской подсвиты, прослеживаясь в виде относительно выдержанной полосы в субмеридиональном направлении по восточному склону хребта Большой Шатак. Сводный разрез подсвиты (снизу вверх) выглядит следующим образом (см. рис. 1).

1. Диабазы зеленовато-серого цвета, в средней части массивные и афировые, в подошве и кровле миндалекаменные и брекчииевидные.

2. Конгломераты валунно-галечные с размером обломков кварцитопесчаников до 20 см. Цемент, составляющий 15% от основной массы пород, имеет полимиктовый состав.

3. Хлоритизированная и гематитизированная порода основного состава (метадиабазы), интен-

сивно рассланцованные и будинированные, с широкой развитой магнетитовой минерализацией в виде мелких идиоморфных кристаллов в количестве до 20–25%.

4. Конгломераты валунно-галечные. Цемент представлен гематитизированным кварц-серicit-хлоритовым агрегатом.

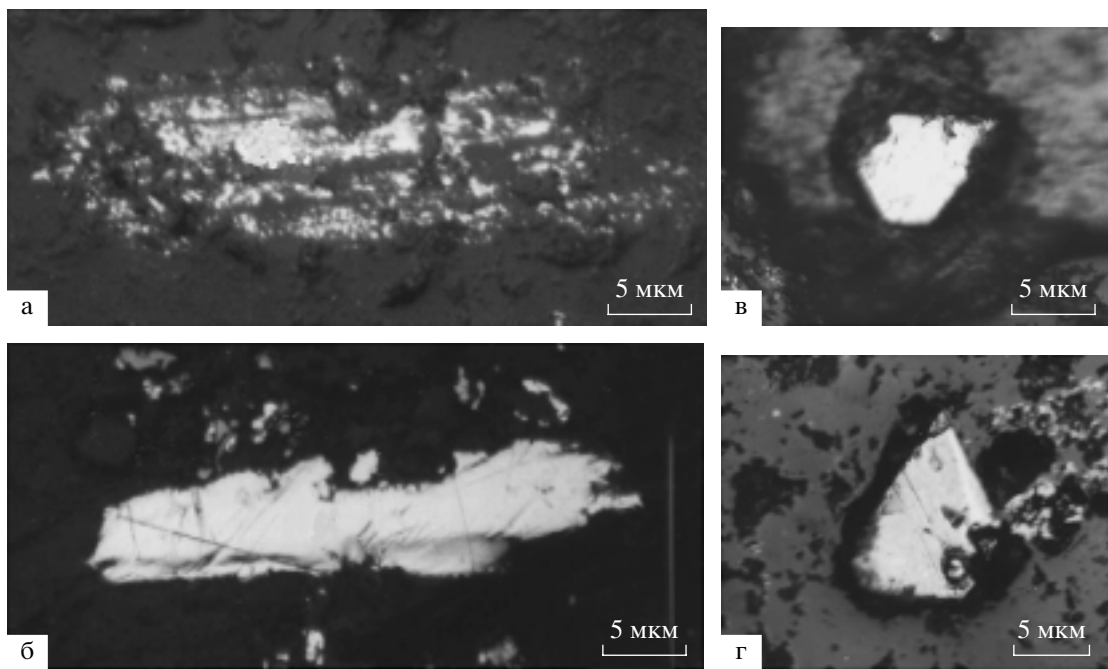
5. Алевролиты темно-серого цвета, рассланцованые.

6. Песчаники разнозернистые зеленовато-серого цвета, толстоплитчатые, рассланцованые.

7. Конгломераты валунно-галечные, аналогичные слою 4, в южной части грабена залегающие непосредственно на метадиабазах слоя 3. В зоне контакта, как в диабазах, так и в конгломератах, наблюдается обильная вкрапленность магнетита (до 60–70%), так что породы представляют собой по существу магнетитовую руду.

8. Песчаники в нижней и средней части слоя среднезернистые, в кровле – кварцитовидные, сливные, с включениями (до 5%) пирита пентагондодекаэдрического габитуса.

9. Диабазы – в подошве эпидотизированные, в кровле – окварцованные, брекчииевидные с мелкой вкрапленностью магнетита (5–7%).



**Рис. 2.** Самородное золото (а, б) и платиноиды (в, г) из шатакских конгломератов.

10. Песчаники – в подошве крупнозернистые, в кровле – кварцитопесчаники с тонкими кварцевыми прожилками.

11. Диабазы зеленовато-серого цвета. В нижнем эндоконтакте породы амфиболитизированы, а в средней части эпидотизированы с S-образными кварцевыми прожилками лестничного типа и кварц-эпидотовыми жилами с халькопиритом и гидроксидами меди.

По преобладающему составу рудных минералов конгломераты каранской подсвиты, так же как и кузьельгинской, подразделяются на гематитовые и магнетитовые. В первой разновидности гематит – наиболее распространенный рудный минерал. Его содержание колеблется от нескольких зерен (галочки конгломератов) до 15–20% (цемент конгломератов). Магнетит довольно редок. Он спорадически встречается среди кварцевого цемента и чаще всего в ассоциации с гематитом. Представлен магнетит идиоморфными кристаллами с хорошо развитыми тремя–шестью гранями размером 30–150 мкм.

В конгломератах с магнетитом его вкрапленники неравномерно рассредоточены в цементе. Их количество достигает 60–65%. Довольно часто наблюдается замещение магнетита оксигидроксидами железа. Так, в одном из полированных препаратов встречен кристалл треугольной формы, основание которого выполнено магнетитом, на которое нарастает тонкая (30–40 мкм) пластинка гематита, а вершину треугольника венчает лепидокрокит.

В обоих типах конгломератов встречаются включения самородного золота, приуроченные чаще всего к хлорит-железистым выделениям, цементирующими зерна кварца. Форма золотин неправильная с резко изрезанными краями, дендритовидная, каплевидная. Размер их, в основной массе – 1–5 мкм, но встречаются и более крупные выделения (рис. 2а, 2б). Кроме того, в двух образцах был обнаружен платиноид, определенный оптическим методом в минералогической лаборатории ОАО “Унипромедь” как нигтлийт ( $\text{PtSn}_3$ ). Форма его выделений идиоморфная с правильными и ровными двумя и тремя гранями (см. рис. 2в, 2г), средней твердостью, очень сильным двутражением ( $R = 20\text{--}40\%$ ) и анизотропией с ярким цветным эффектом от оранжевого до темно-серо-синего.

## ОБСУЖДЕНИЕ РЕЗУЛЬТАТОВ

На сегодняшний день считается твердо установленным, что временной интервал конец раннего рифея–начало среднего рифея на западном склоне Южного Урала являлся начальной эпохой формирования рифтогенной структуры [Парнавчев и др., 1986; Иванов и др., 1989; Ковалев, 2004]. В этот период произошло заложение серии грабенообразных структур с заполнением их псефито-псамитовыми осадками машакской свиты и активизировались магматические процессы, что выразилось в образовании разнообразных как по основности (от пикробазальтов до риолитов), так и по фациальной принадлежности (эффузивные

потоки, субвуликанические пластовые тела, эруптивные жерловые комплексы) магматических пород. Внедрение в верхние горизонты земной коры значительных объемов базальтовой магмы всегда сопровождается предварительной проработкой субстрата восстановленными мантийными флюидами, которые отделяются от расплава на глубине около 10 км [Зотов, 1989], а до этого в верхней части “флюидно-магматической колонны” количество рудогенных элементов нарастает. При поступлении флюидов в верхние этажи земной коры по тектонически ослабленным зонам происходит смена окислительно-восстановительных условий, в результате которой в терригенных породах формируются геохимические аномалии элементов “мантийной” природы. При дальнейшем эволюционном развитии системы благоприятными факторами для рудоконцентрирующих процессов, кроме структурно-литологических особенностей, является также длительность функционирования флюидно-гидротермальных источников.

Для обоснования физико-химических условий образования платино-золото-железометального оруденения нами привлекаются материалы А.А. Маракушева и Н.И. Безмена [1971], показавших, что возрастание положительной свободной энергии реакций типа  $\text{MeO}_2 + \text{S}_2 = \text{MeS}_2 + \text{O}_2$  с повышением температуры свидетельствует о все большем смещении равновесия реакций влево, в сторону образования оксидов, что соответствует эмпирически выявленной закономерности, согласно которой смена окисного оруденения сульфидным на рудных месторождениях происходит с понижением температуры. Расчеты равновесных соотношений между магнетитом и сульфидами железа в системах с участием ионов  $\text{HS}^-$  и  $\text{OH}^-$  позволили установить, что при температурах выше  $400^\circ\text{C}$  магнетит более устойчив, нежели сульфиды железа. Снижение температуры системы ниже  $400^\circ\text{C}$  предопределяет появление в системе вместо магнетита парагенезиса пирита с пирротином [Павлов, 1976].

Таким образом, при повышенных температурах возрастание активности кислорода, выражющееся в увеличении сродства металлов к кислороду, предопределяет устойчивость оксидов и силикатов железа. Золото и платина в этих условиях проявляют сидерофильные свойства, что и обуславливает их совместную миграцию с железом, о чем свидетельствуют описанные ранее находки в цементе конгломератов самородно-

го железа. Палладий, в отличие от платины, является типичным халькофильным элементом, поэтому он не характерен для данной ассоциации, что выражается в высоких значениях отношения Pt/Pd, в среднем равного

#### 4. ЗАКЛЮЧЕНИЕ

Приведенные выше материалы свидетельствуют, что формирование ассоциации золото–платина–оксиды железа в конгломератах машакской свиты происходило из восстановленных растворов при температуре не ниже  $400^\circ\text{C}$ , при этом источником металлов являлись мантийные флюиды, поступавшие в верхние горизонты земной коры.

#### СПИСОК ЛИТЕРАТУРЫ

- Зотов И.А.* Трансмагматические флюиды в магматизме и рудообразовании. М.: Наука, 1989. 214 с.
- Иванов С.Н., Коротеев В.А., Пучков В.Н., Иванов К.С.* Эволюция рифтовых систем Урала // Тектонические процессы. М.: Наука, 1989. С. 154–163.
- Ковалев С.Г.* Динамика формирования среднерифейской рифтогенной структуры (западный склон Южного Урала) // ДАН. 2004. Т. 396. № 2. С. 219–222
- Ковалев С.Г., Высоцкий И.В.* Первые находки самородного железа в породах машакского комплекса и их петрогенетическое значение // Геологический сборник № 1. Информ. мат-лы. Уфа: ИГ УНЦ РАН, 2000. С. 86–87.
- Ковалев С.Г., Высоцкий И.В.* Новые данные по магматизму Шатакского грабена // Геологический сборник № 3. Информ. мат-лы. Уфа: ИГ УНЦ РАН, 2003. С. 117–119.
- Маракушев А.А., Безмен Н.И.* Термодинамика сульфидов и окислов в связи с проблемами рудообразования. М.: Наука, 1971. 229 с.
- Павлов А.Л.* Эволюция физико-химических параметров гидротермальных систем при рудообразовании. Новосибирск, Наука, 1976. 300 с.
- Парначев В.П., Ротарь А.Ф., Ротарь З.М.* Среднерифейская вулканогенно-осадочная ассоциация Башкирского мегантиклинория (Южный Урал). Свердловск: УНЦ АН СССР. 1986. 105 с.
- Ротарь А.Ф., Ротарь З.М., Парначев В.П.* Стратиграфия шатакской свиты среднего рифея на Южном Урале // Стратиграфия и литология докембрийских и раннепалеозойских отложений Урала. Свердловск: ИГиГ, 1982. С. 53–64.